

## 犬의 胚芽性混合腫瘍(Wilms' Tumor)에

### 對한 病理組織學的考察

全南大學校 農科大學 獸醫學科 病理學教室

林 鳳 鑄

#### I. 緒 言

胚芽性混合腫瘍(腺肉腫 Adenosarcoma, 胚子腫 Embryoma, 又는 Wilms' Tumor)은 人에 있어서 小兒의 Kidney에서 볼수있는 唯一한 惡性腫瘍으로 成人에 있어서는 稀少하다고한다. 筆者는 1959에 上記腫瘍에 對한 病理組織學的考察을 할 機會를 가졌다. 이腫瘍은 犬 豚 家兔 等에 잘 發生하나 他動物에서는稀少하다한다. 이例의 特異한것은 水腎症(腎東腫 Hydronephrosis)을 併發한것이다. 이腫瘍과(Grawitz氏 肿瘍, 副腎腫 Hypernephroma)의 區別은 顯微鏡検査에서만 구別할수가 있다.

#### II. 症 告

3歲의 Shepherd, 咳嗽이 있어서 初夏부터 擊留했으며 其間食慾이 없었다. 某家畜病院에서 便秘로 診斷하고 灌腸을 하였으나 아무런 排泄物은 없었다. 其後治療는 받지 않고 他家畜病院에 診斷을 請하였을때는 約一週日間 絶食하였고 體溫 37°C, 脈搏 68, 呼吸 76, 不規則하고 弱한 心音, Gasping한 肺胞音, Anoxemia가 있고 腹部膨大, 右側腰脊椎와 左側 12肋骨 後部에 新生兒大의 硬한 塊을 觸知할수가 있었다. Palpation 할 때는 犬이 痛症을 느꼈다. 診斷途中 犬의 搖搖로 診察臺에서 下落하여 直時死하였다.

#### III. 肉眼的所見

病理解剖는 死後 24時間後 違行되었다.

左腎臟：全部腫瘍組織으로 置換되었으며 本來의 Kidney의 特色이나 形態는 볼수없었으며 長橢圓形의 塊으로 灰白色이며 褐赤色液體를 含有한 Cyst(全體  $\frac{1}{3}$ )과 小腫瘍( $\frac{2}{3}$ )으로 되어 있었다. Size는 15~16~10cm (Fig. 1), 重量은 1,000g 이다. 正常左腎의 位置의 腰椎部에 固着하여 있으며 下部에 出血關係로 直徑 2cm의 凝血塊가 附着하여 있었다. 表面은 出血部인 壞死部分을除外하고 同質灰白色이었다. (Fig. 2) Cyst는 正常 Kidney의 約 6~7倍였으며 肥厚한 被膜으로 被覆되어 있으

며 數個의 隔膜(Septa)로 區分되어 있었으며 完全히 Kidney가 Cyst化되어 含有한 液體가 Kidney의 實質을 置換하고 있었다.

凝溜液：腹腔에 1.000cc, 胸腔에 3.00cc, 肺 全體가若干赤色이며 大肺葉中央部位에 直徑約 2cm의 結節，外表面은 暗白色，剖面은 白色，肺表面에서 若干隆起되어 있었다.

其他의 臟器는 異常無하고 膀胱內尿는 全無하였다.

#### IV. 病理組織學的所見

各組織은 H.E Stain하여 Tumor의 中心部, 周邊部壞死部를 鏡檢하였다.

中心部：Scirroous Cancer의 像이었으며 主로 結合組織과 不規則하게 配列된 小圓形細胞 그리고 若干의 管腔形像으로 構成되어 있다. 細胞群과 管들은 肥厚한 結合組織으로 圍繞되어 있다. (Fig. 3.4).

周邊部：構造는 肉瘤癌 Meianillary Cancer와 腺腫이며 前者는 间質結合組織으로 圍繞된 腺細胞로 되어 있으며 後者는 管과 結合組織으로 構成되었으며 結合組織에 依하여 여려가지 크기로 區分되어 있다. (Fig. 5.6)

壞死部：細胞들은 壞死되었으며 網狀의 痘을 呈한 結合組織間에 少數生存細胞가 散在하고 있다. (Fig. 7.8)

肺臟：肺胞壁은 破壊되고 肺胞의 形態는 變形되었고 破壊된 肺胞壁과 거기에 있는 毛細血管이 破壊되어 出血을 일으키고 静脈은 血液으로 充滿되고 있다. 呼吸小氣管上皮는 消滅되어 있고 오직 基礎膜만이 남아있다. 出血像이 顯著하다. (Fig. 9)

肺臟의 結節：構造는 肿瘍의 周邊部의 組織像과 同一하며 血管에相當한 査血이 보였다. 結節附近의 肺胞는 壓縮되어 橫疊되어相當量의 血液을 包含하고 있다. (Fig. 12.13)

Cyst의 被膜：全部 結合組織으로 構成되어 있으며 實質組織은 發見할수없었다. (Fig. 14)

Cyst內의 凝溜液：Giemsa Stain하여 鏡檢한結果 多數赤血球와 Shrink된 赤血球以外에는 別로 異常도

發見 할 수 없었다.

## V. 考 察

肉眼의 으로 非上皮性인 Wilm's Tumor와 上皮性인 Grawitz's Tumor (hypernephroma 副腎腫)의 구별은困難하여 結局 病理組織學的 檢查以外에 別道理가 없다. 鏡檢에서 나타나는 것과 같이 그 構造가 脂腫, 脂肉腫, 纖維腫의 混合腫으로써 Wilm's Tumor가 分明하다. 萬若 이것이 Grawitz's Tumor라면 副腎皮質의 細胞가 出現했어야 할 것이다. 또한 割面이 出血, 壞死 Lipoid로 混合해서 雜色을 呈하여야 한다. 그러나 이例는 多少 出血, 壞死는 有하였으나 大體로 均一의 色이었다. 下部位의 出血은 診察臺에서 下落時에 亂 것으로 生존된다.

Cyst의 發生理由는 Tumor가 成長함에 따라 Pelvis에 侵入하여 尿路의 閉鎖로 因하여 尿가 Kidney內에 潘潤하게 되어 實質을 壓迫하여 終末에는 實質은 全部 委縮變性, 壞死하여 形跡을 볼 수 없게 되고 被膜만 厚肥해 되어졌다. 그리고 腎柱의 界界에 있는 結合組織이 增殖肥厚하여 Septa를 形成하였다.

肺에 轉位된 것은 Tumor가 腎靜脈에 侵入하여 靜脈系를 經由하여 肺에 到達하여 새로운腫瘍의 Metastasis를 일으켜 結節을 形成하였다.

體腔內의 潘潤液은 死後에 泄出되고 Tumor의 出血로 因하여 赤褐色으로 亂 것이며 胸腔內의 液은剖檢時 腹腔에서 移入된 것 같다. 生時의 臨床所見에서 腹水의 Symptom은 全혀 볼 수 없다 한다.

Anoximia와 Gasping은 高度의 肺査血로 原因된 것이다. Tumor가 漸次 增大되어짐에 따라 下行後大動脈을 壓迫함으로 心臟에서 動脈血排出이 困難하게 되어 自然히 肺査血을 招來하여 肺水腫, Gas 交換의 困難, 呼吸困難(呼吸數 76)이 起起된 것이다. 出血性肺炎으로 因한 Anoxemia, Gasping의 Symptom이 나타난 것이다. 이것이 致命的死의 原因이 되었을 것이다.

## VI. 結 言

Kidney의 唯一한 惡性腫瘍인 이例를 胚芽性混合腫瘍으로 病理組織學의 完明한 理由로

- 1.相當히 Tumor가 크게 될 때 까지 無痛한 것
2. 割面이 雜色이 많아 없고 大體로 均一한 色이었다.
3. 組織學의 으로 脂肉腫에 腎尿細管을 聯想케 한 管腔形成像이 있고 硬性癌이었으며 體樣癌의 樣相을 呈하여 副腎腫 Hypernephroma의 特徵인 副腎皮質細胞는 全혀 發見치 못했다.
4. 肺에 轉移한 結節이 Tumor의 構造와 一致하였다.

이 Case의 特異한點은 Cyst를 併發한點이다.

結局 이 Case는 Wilm's Tumor가 Pelvis, Renal Vein에 侵入하여 尿路閉鎖로 Kidney에 水腫이 생기었고 後大靜脈 心臟, 肺動脈을 經由하여 肺에 Tumor Metastasis가 있게 되었다. Tumor의 增大로 後大動脈을 極度로 壓迫하여 心臟의 血液排出이妨害되어 肺에 極甚한 壓血을 일으켜 肺胞壁과 血細管破裂로 出血하게 되며 出血性肺炎이 되여 極度의 呼吸困難 血液의 O<sub>2</sub>不足으로 全身性循環障礙를 일으켜 衰弱해진 것이다.

## VII. 參 考 文 獻

- 1) William Boyd.: Text book of pathology. 5 Edition. 1949.
- 2) Bell, E.T.: A Text book of pathology. 6 Edition. 1949.
- 3) J.F.A. McManus, : Medical Disease of the Kidney. 4 Edition. 1959.
- 4) Russell A. Runnels, : Animal Pathology. 4 Edition. 1946.
- 5) David L. Coffin, : Manual of Veterinary Clinical Pathology. 3rd Edition. 1953.
- 6) Gwilym O. Lavies, : Veterinary Pathology. 1st Edition 1957.
- 7) 吉田富三, 武田勝男: 病理各論 1957
- 8) 小野豐: 家畜病理學 10th Edition. 1960.



Fig. 1. Wilms tumor with a hydronephroma. It is cut in two part. Note the cyst cut is visible in the right upper part.



Fig. 2. The cut surface of the tumor, showing almost hemogenous appearance.

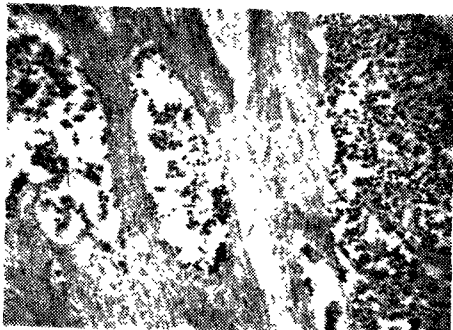


Fig. 3. The central part of the tumor, showing tumor cells surrounded by thick connective tissue. X100.

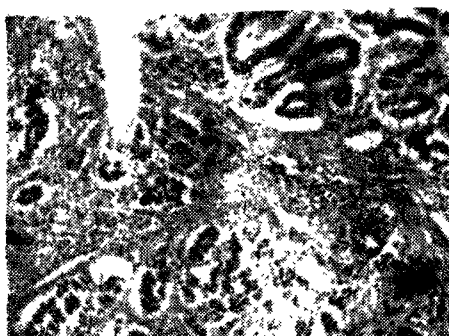


Fig. 4. The central part of the tumor, showing the tubular and carcinomatous appearance. X100.

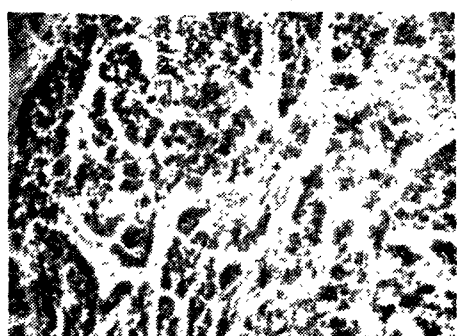


Fig. 5. The peripheral part of the tumor. The group of cells is divided by connective tissue in various size. X100.



Fig. 6. The peripheral of the tumor, showing amedullary cancer. X100.



Fig. 7. The necrotic part of the tumor, only the fibres of connective tissue remained net-work, the tumor cells are shown in the right upper area. X100

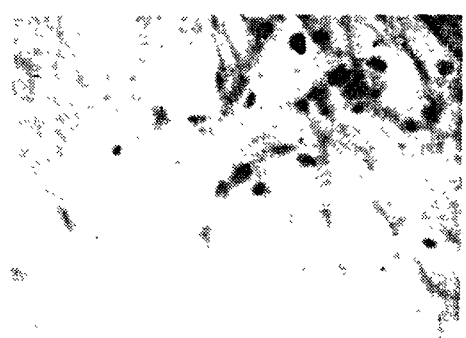


Fig. 8. The necrotic part of the tumor, showing a few living tumor cells among the net-work. X400.



Fig. 9. The alveoli of the lung, showing almost ruptured alveolar walls. X100

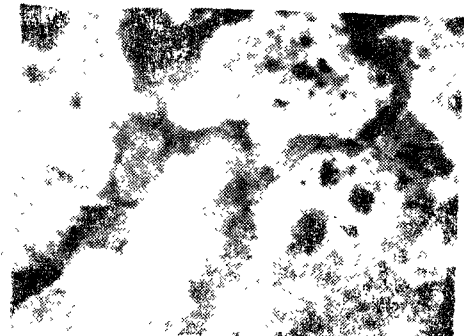


Fig. 10. The exudate is visible in the alveoli. X400.

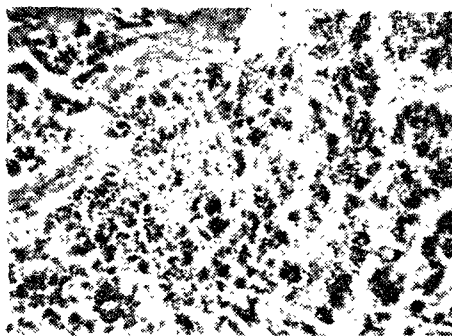


Fig. 11. The node resulting from metastasis in lungs, showing the same structure of the tumor. X100.

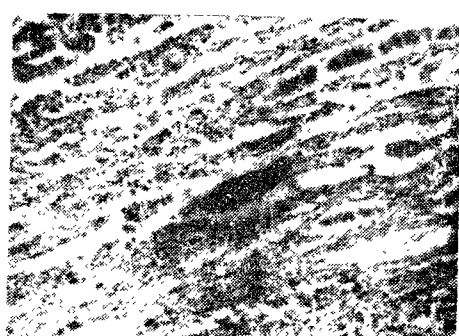


Fig. 12. The alveoli adjacent to the node, showing the pilled walls owing to being pressed by the node. X100.